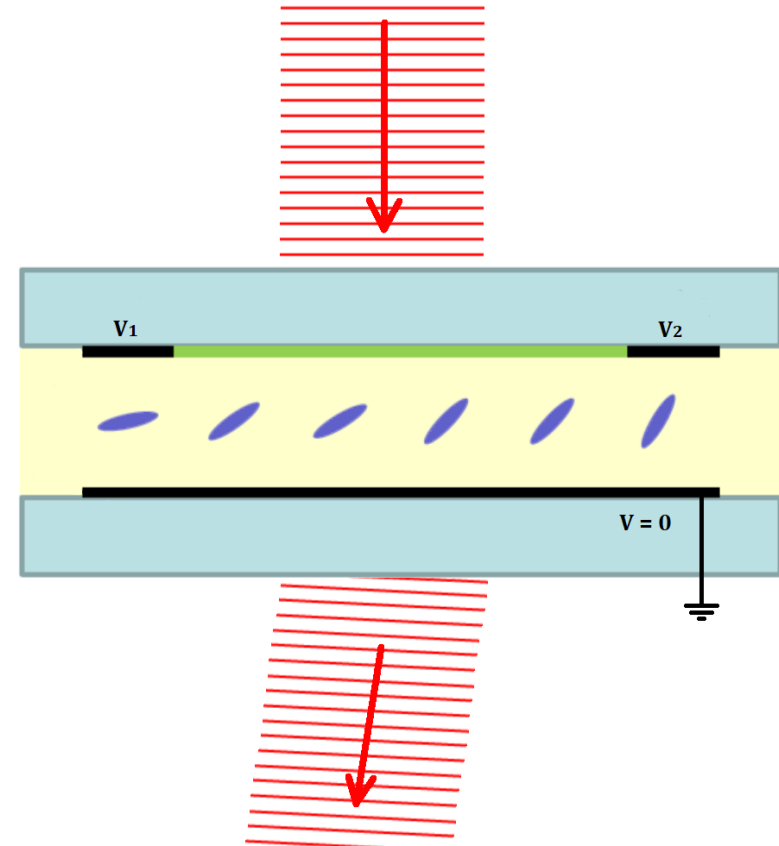


Bundelsturing met een vloeibaar kristal

Enes Lievens – Nathan Sennesael – Roeland Van Haecke

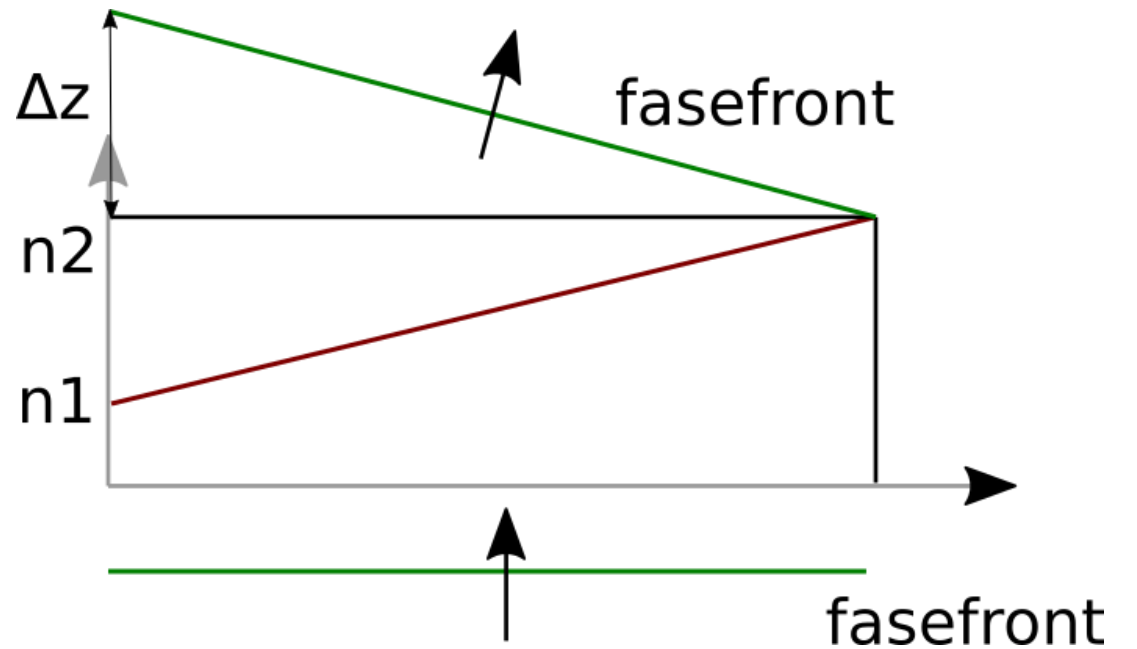
Inleiding

- Doelstelling van dit project:
 - Inkomende vlakke lichtbundel deflecter
 - Hoek exact elektronisch sturen
 - Hoek zo groot mogelijk
 - Device zo klein mogelijk



Principe

- Typische waarden:
 - $\Delta n = 0.2$
 - $L = 50\text{-}100\ \mu\text{m}$
 - $d = 5\text{-}20\ \mu\text{m}$
- $\Theta \approx \Delta n d/L = 4.5^\circ$



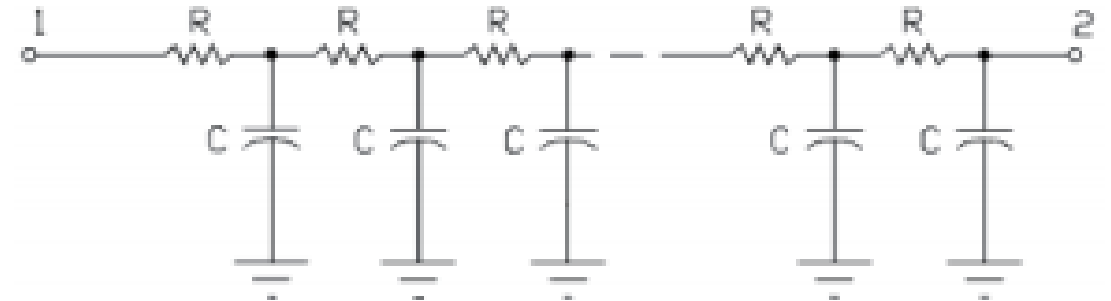
Problemen met het 1e ontwerp

- 20μm vloeibaar kristal
- 5nm laag germanium

$$x_0^c = \sqrt{\frac{\sigma d d_1}{\omega \epsilon_{\perp}}}$$

d = dikte LC

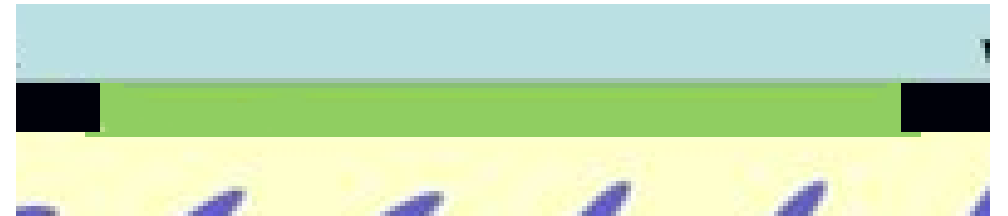
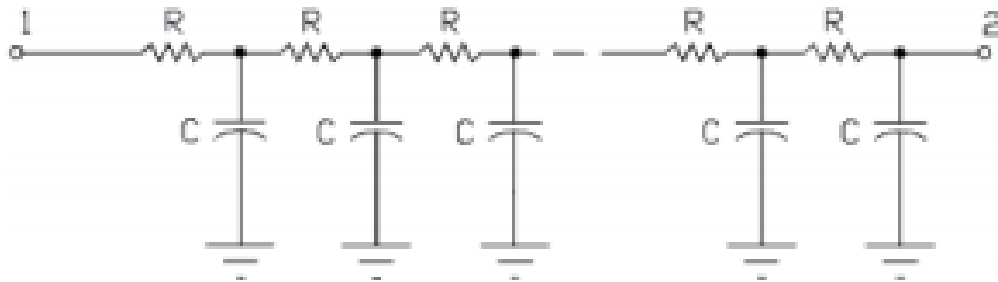
d₁ = dikte germanium



De oplossing: dikker germanium

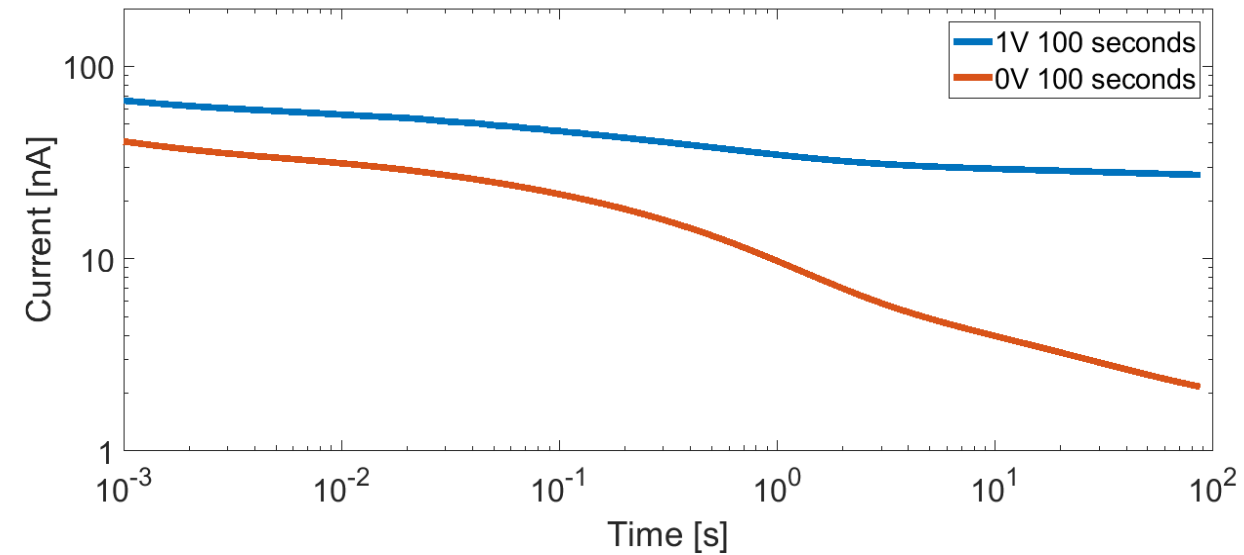
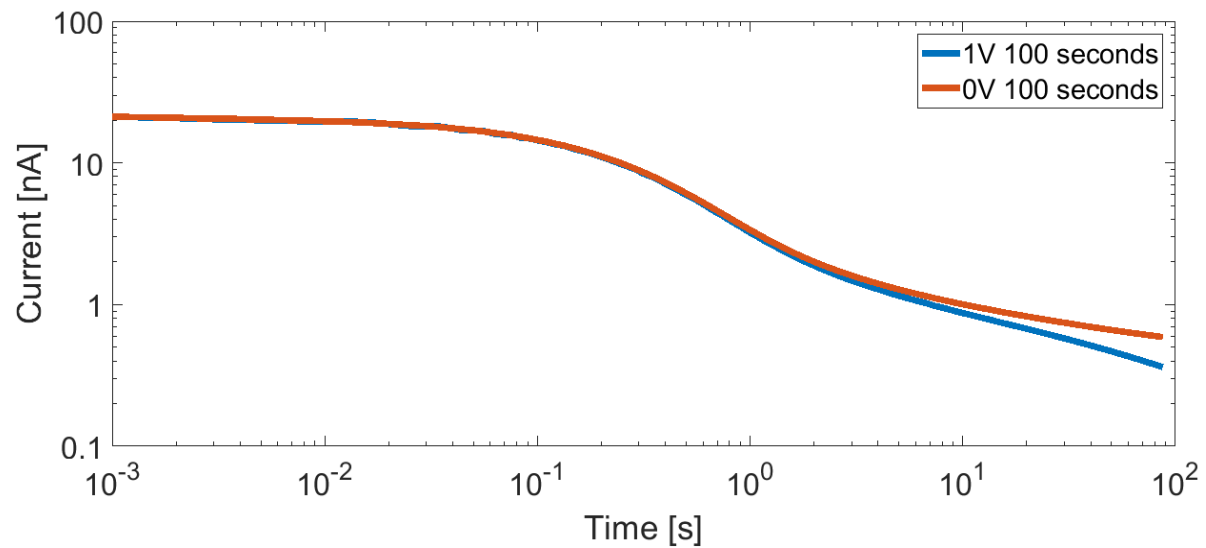
Dikte germanium: 5nm \rightarrow 50nm

Karakteristieke lengte: $x_c \rightarrow \sqrt{10} x_c$



IV metingen

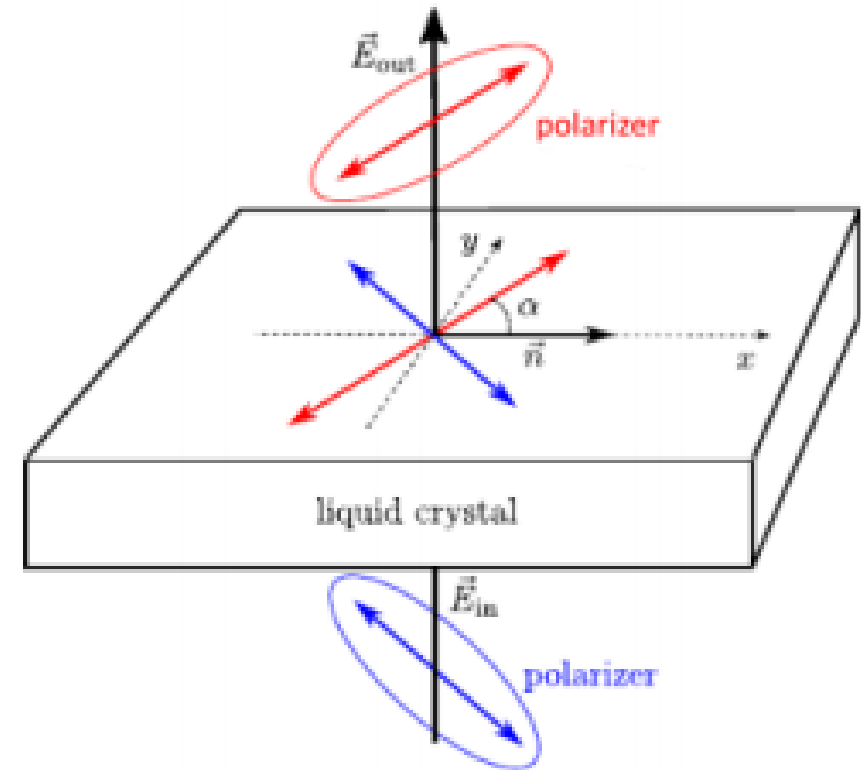
Capactieve effecten treden op bij het te dun germanium



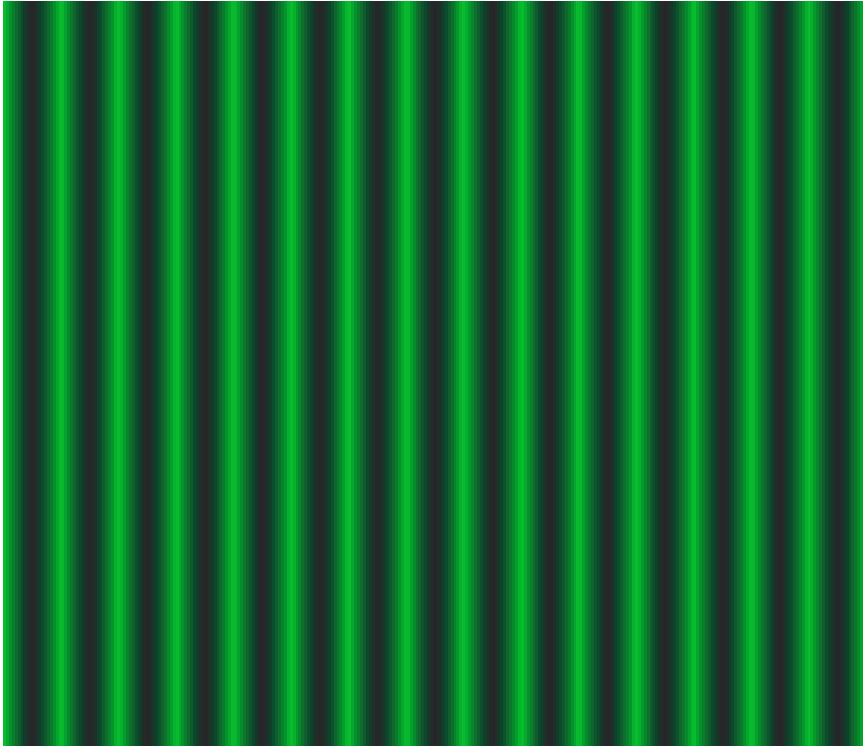
Microscopie - Theorie

$$I = \sin^2\left(\frac{\pi \Delta n d}{\lambda}\right)$$

$$n_e(x) = n_o + Cx \Rightarrow I \propto \sin^2\left(\frac{C\pi d}{\lambda} x\right)$$



Microscopie - Praktisch



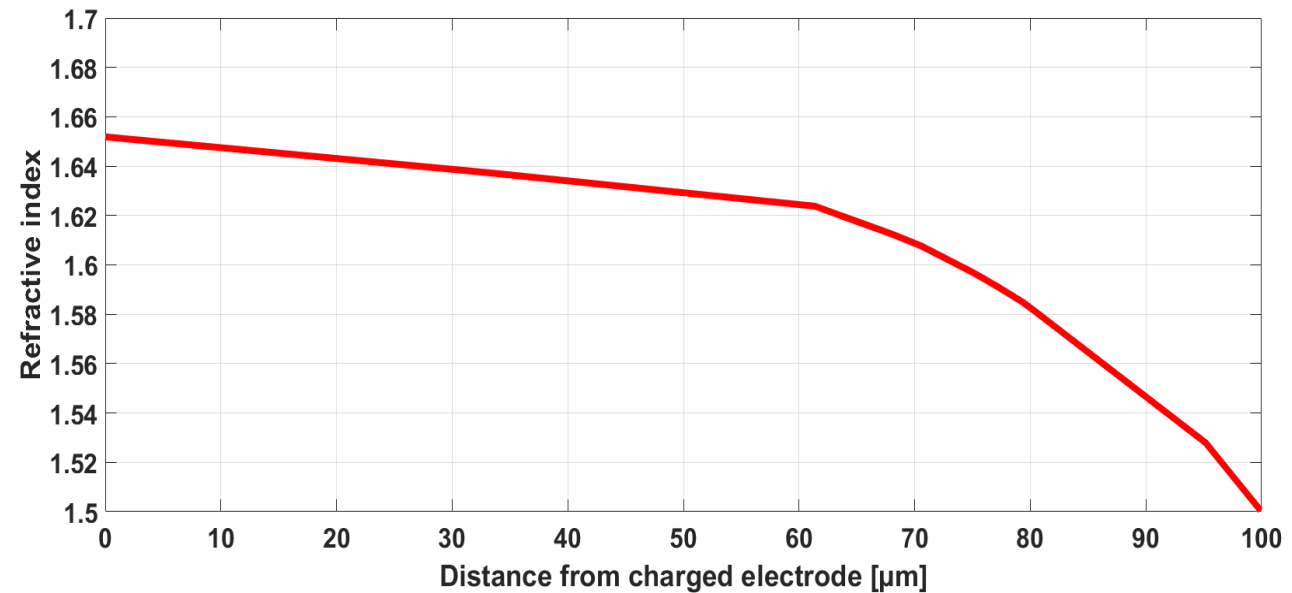
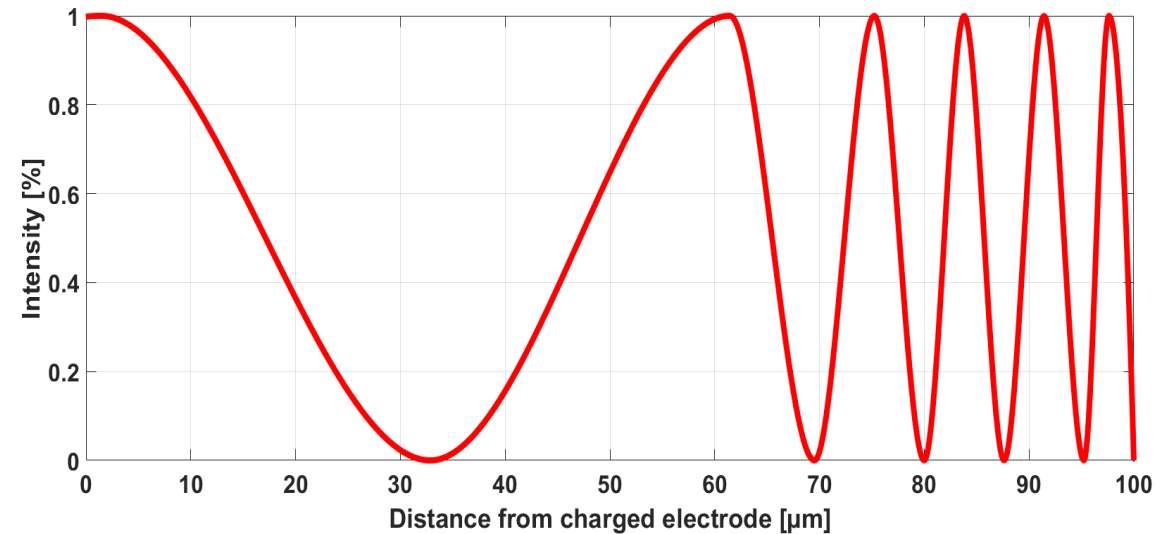
Microscopie - Praktisch

$$n_e(x) = n_0 + \frac{\lambda}{\pi d} \arcsin(\sqrt{I(x)})$$

$$I(x) \propto \sin^2\left(\frac{2\pi}{T}x\right)$$

=>

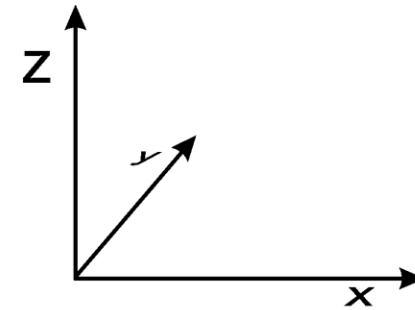
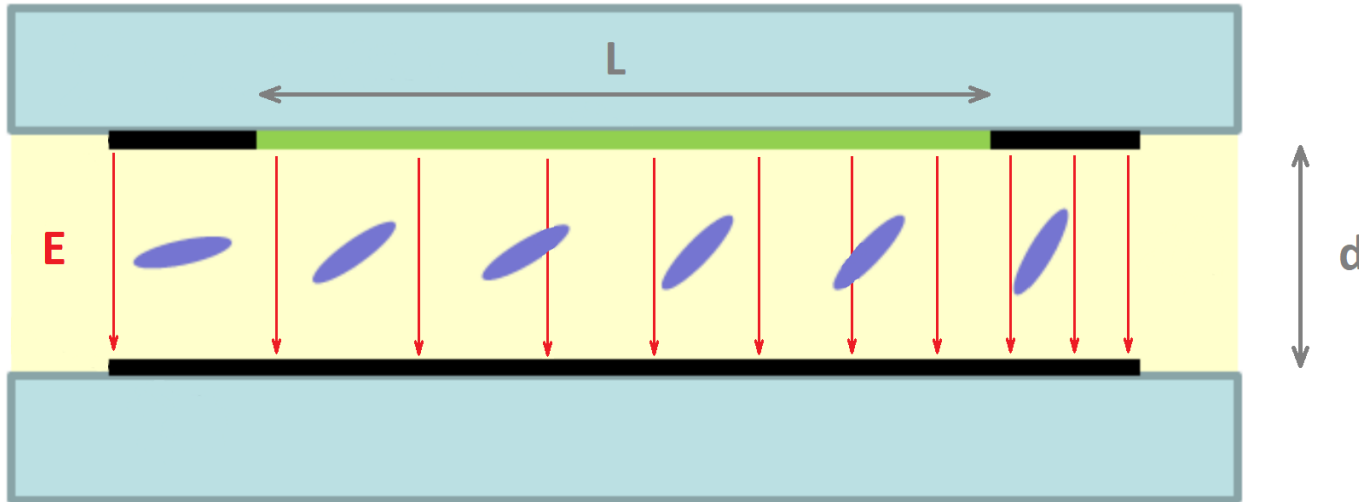
$$n_e(x) = n_0 + \frac{2\lambda}{Td}x$$



1D simulatie

$$d \ll L \Rightarrow \vec{E} \approx E \vec{u}_z$$

$$\frac{d^2 V}{dx^2} = j \frac{\omega \epsilon_{eff}}{d_1 d \sigma} V$$



1D: conclusie

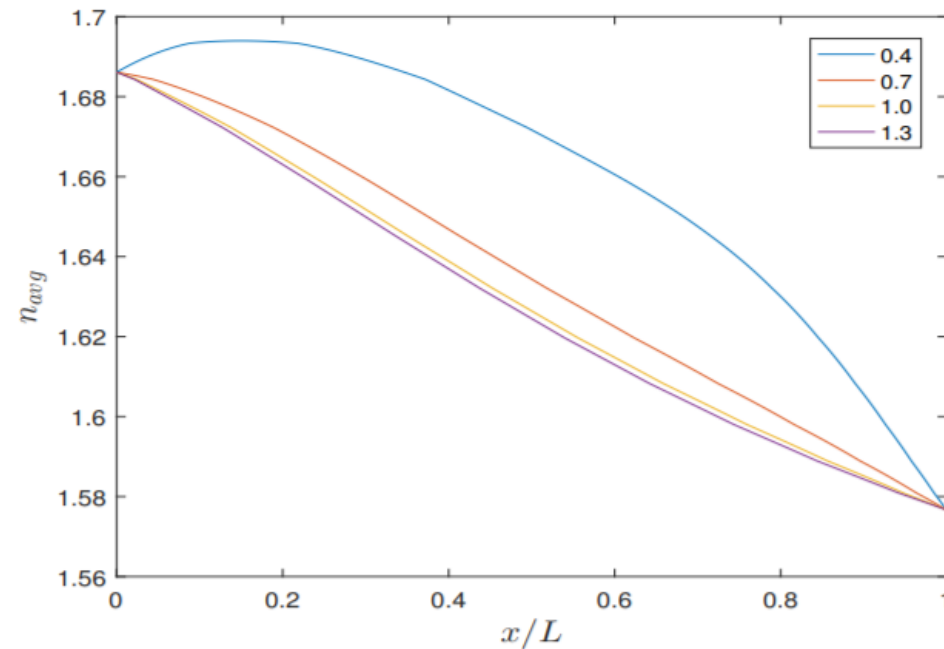
Meerdere frequenties:

$$\frac{d^2 V_1}{dx^2} = j \frac{\omega_1 \varepsilon_{eff}}{d_1 d \sigma} V_1$$

$$\frac{d^2 V_2}{dx^2} = j \frac{\omega_2 \varepsilon_{eff}}{d_1 d \sigma} V_2$$

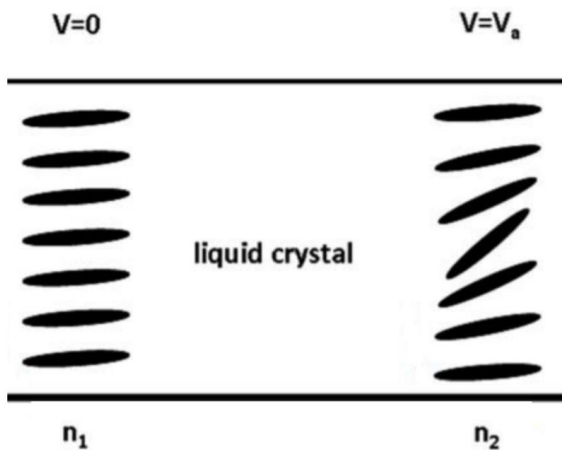
Eén frequentie:

$\theta(deg)$	$V_1(0)(V)$	$V_1(L)(V)$	x_{c1}/L	$V_2(0)(V)$	$V_2(L)(V)$	x_{c2}/L
0.5	1.06	1.32	1.00	0.00	0.00	0.97
1.0	1.06	1.57	1.00	0.00	0.01	1.04
1.5	1.03	1.88	1.00	0.00	0.03	1.07
2.0	1.00	2.22	1.00	0.00	0.02	1.47
2.2	0.98	2.21	1.00	0.00	0.03	1.44

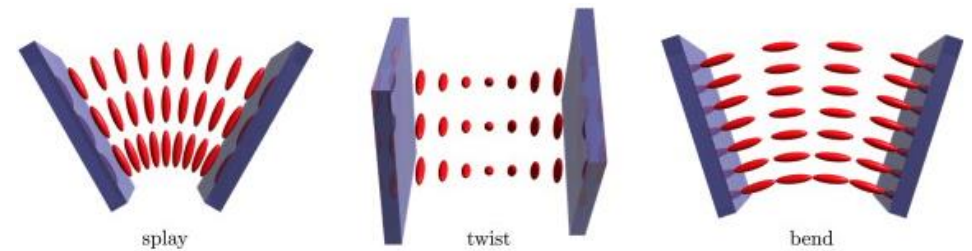


2D simulatie

z - afhankelijkheid



Complex microscopisch gedrag



$$-\nabla \cdot (\bar{\epsilon} \nabla V) = 0$$

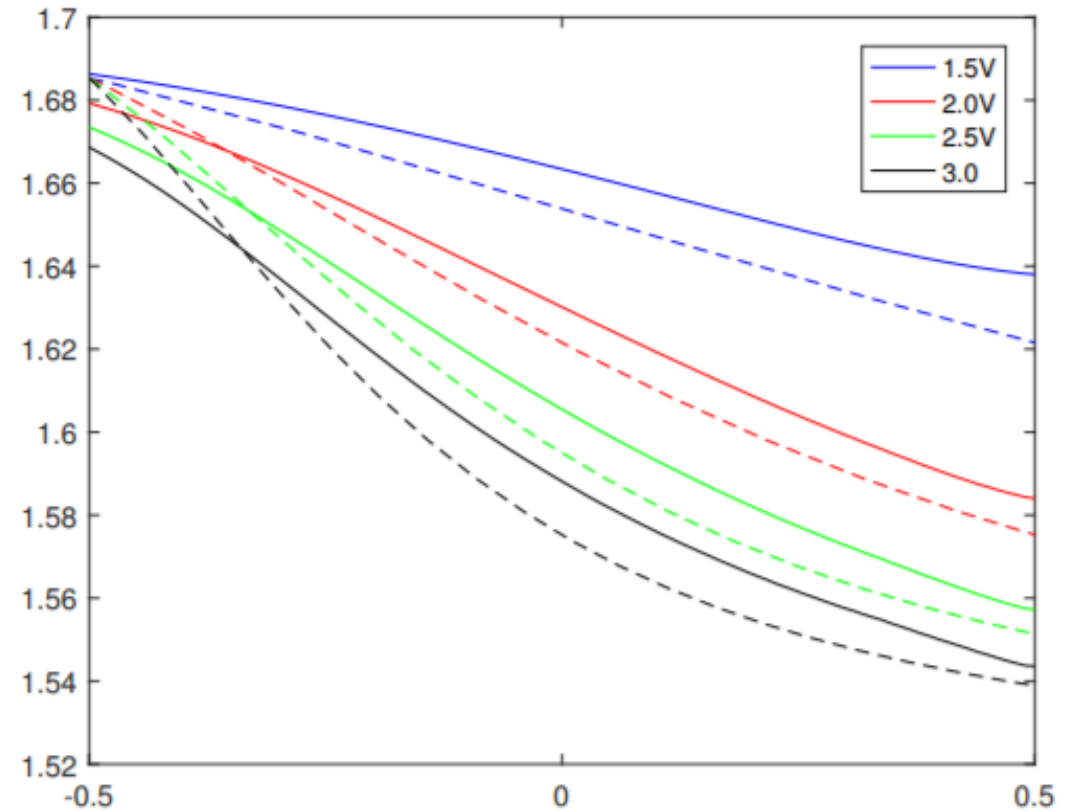
$$-K \nabla^2 \theta = \frac{1}{2} \Delta \epsilon \left(-\sin(2\theta) E_x^2 + \cos(2\theta) E_x E_z + \sin(2\theta) E_z^2 \right)$$

2D: Conclusie

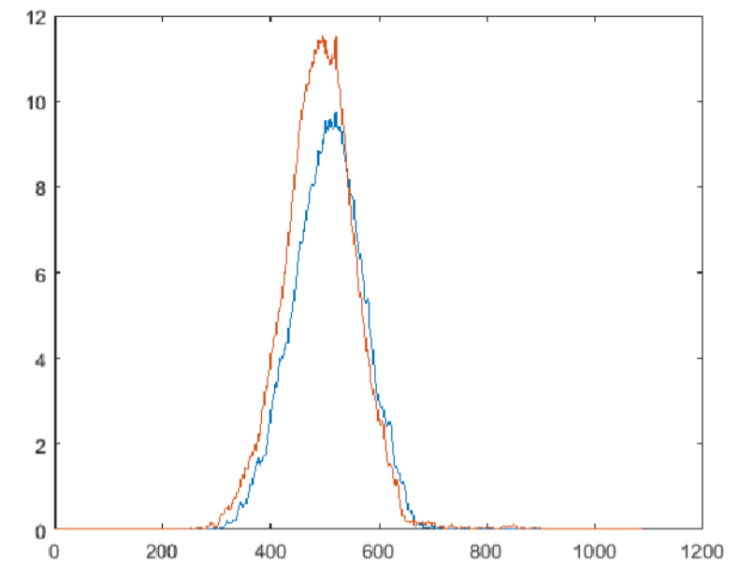
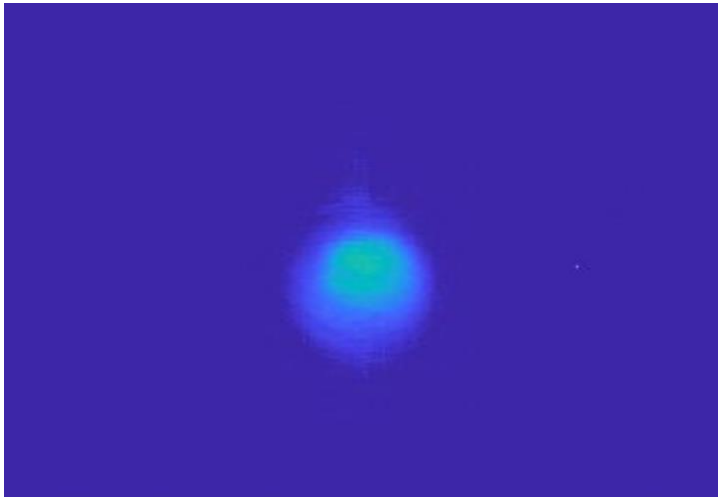
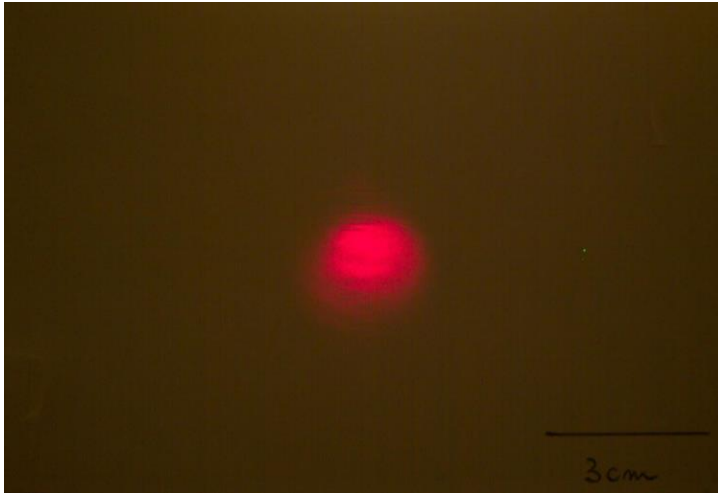
Rekenkundig veel intensiever

Trend gelijkaardig aan 1D simulatie

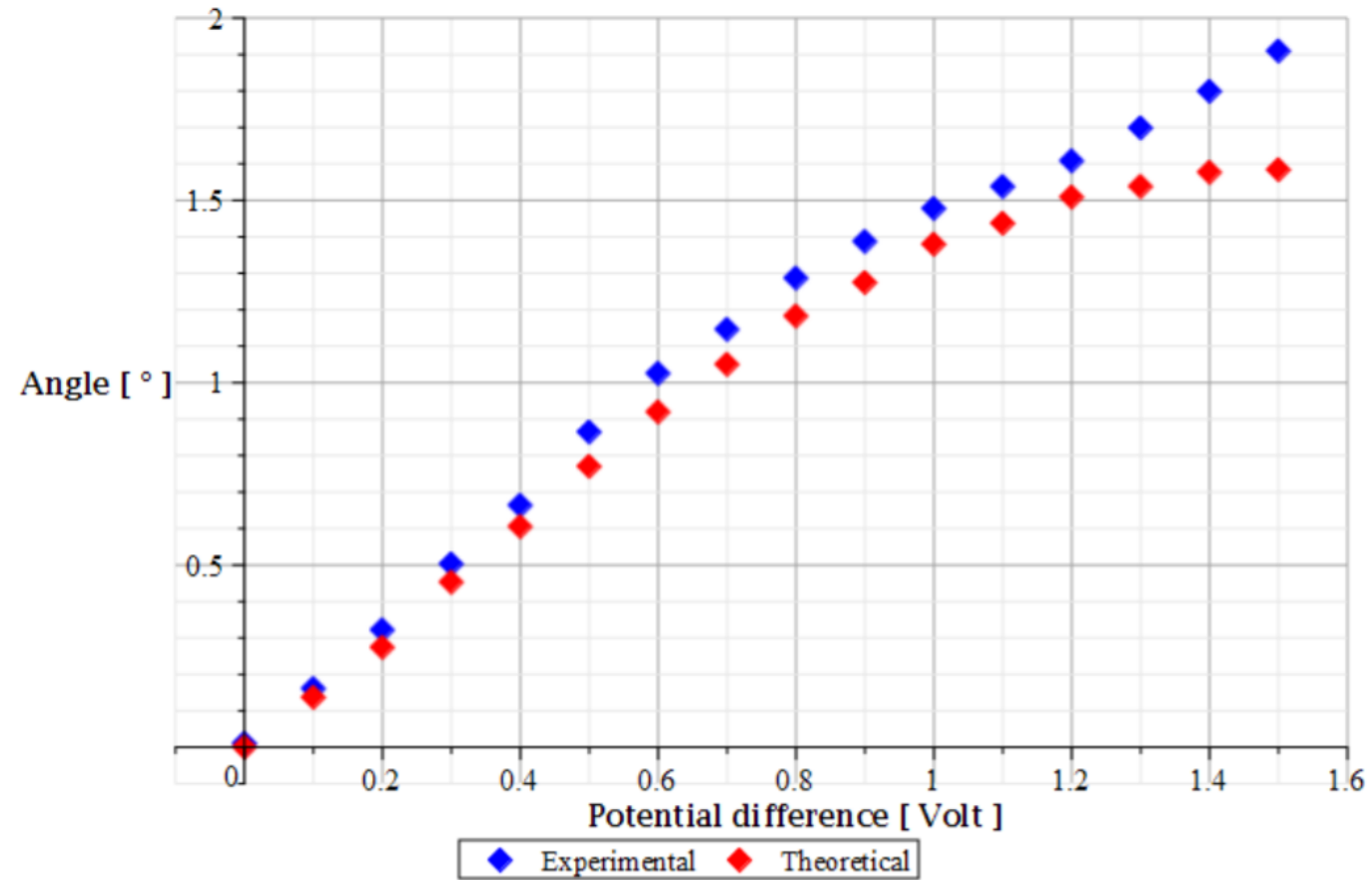
Algemeen: hogere brekingsindex



Experimentatie

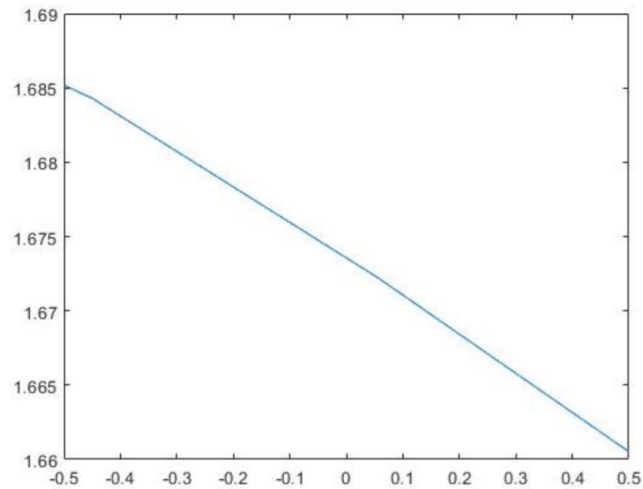


Experimentele resultaten

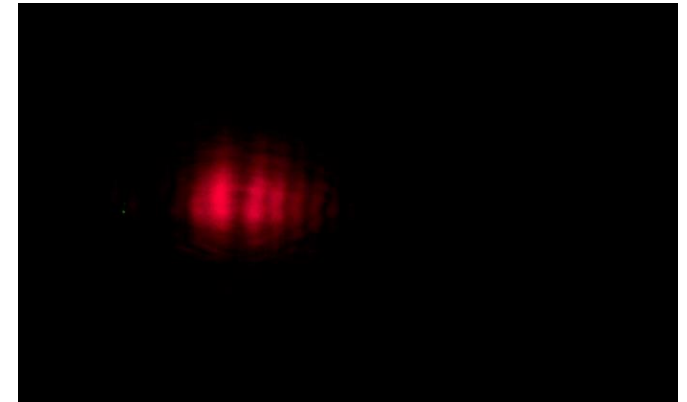
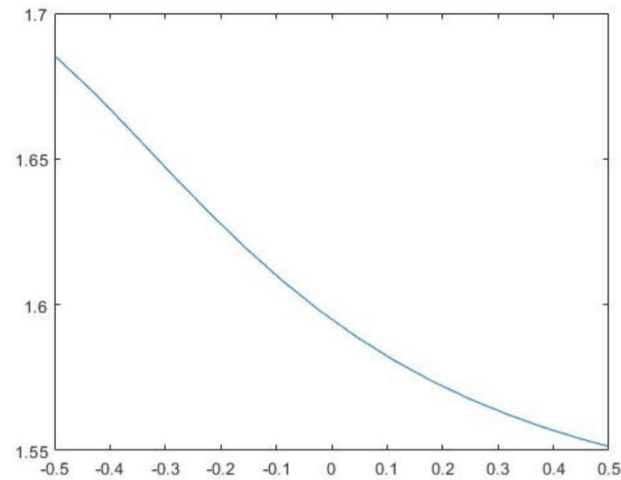


Experimentele resultaten

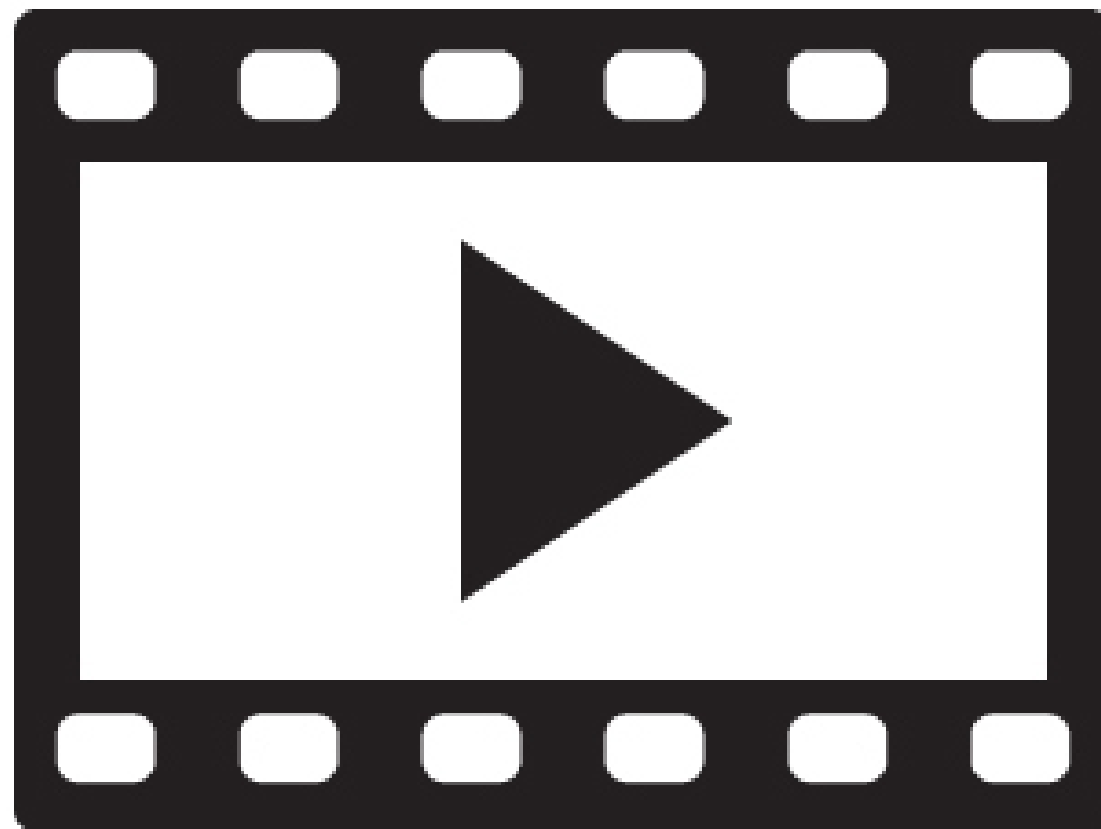
$\Delta V = 0.2 \text{ Volt RMS}$



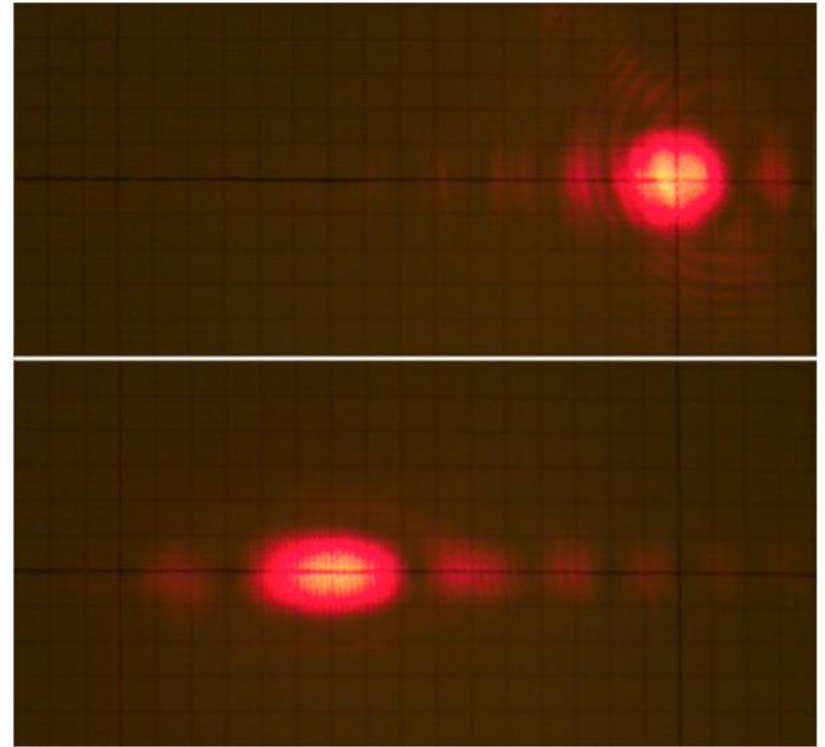
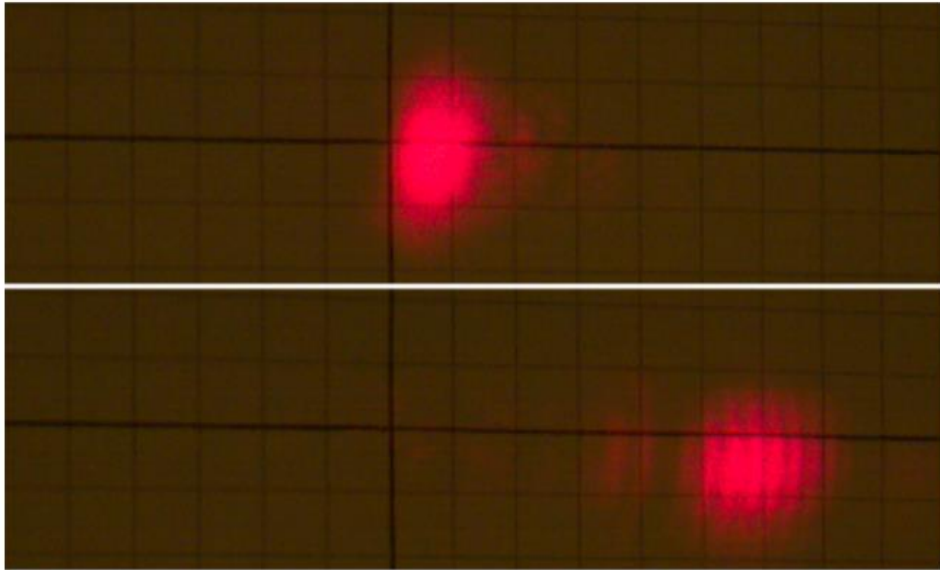
$\Delta V = 1.5 \text{ Volt RMS}$



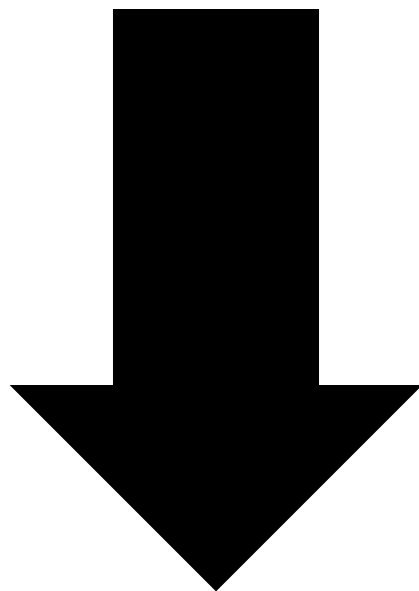
Filmpjes



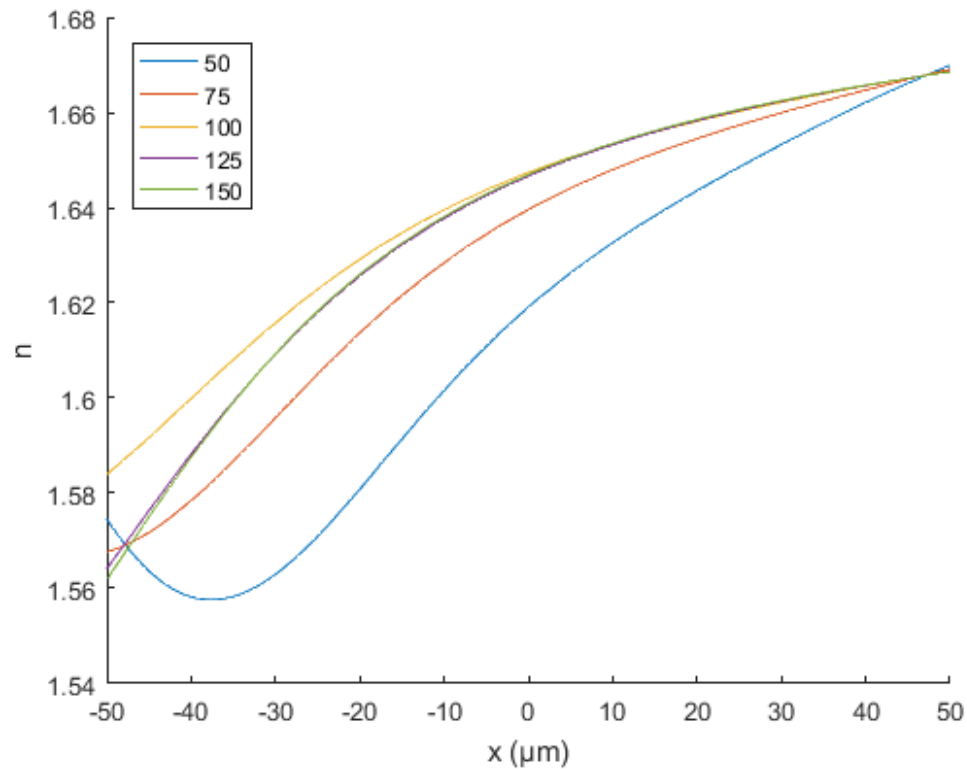
Filmpjes



Extra Slides



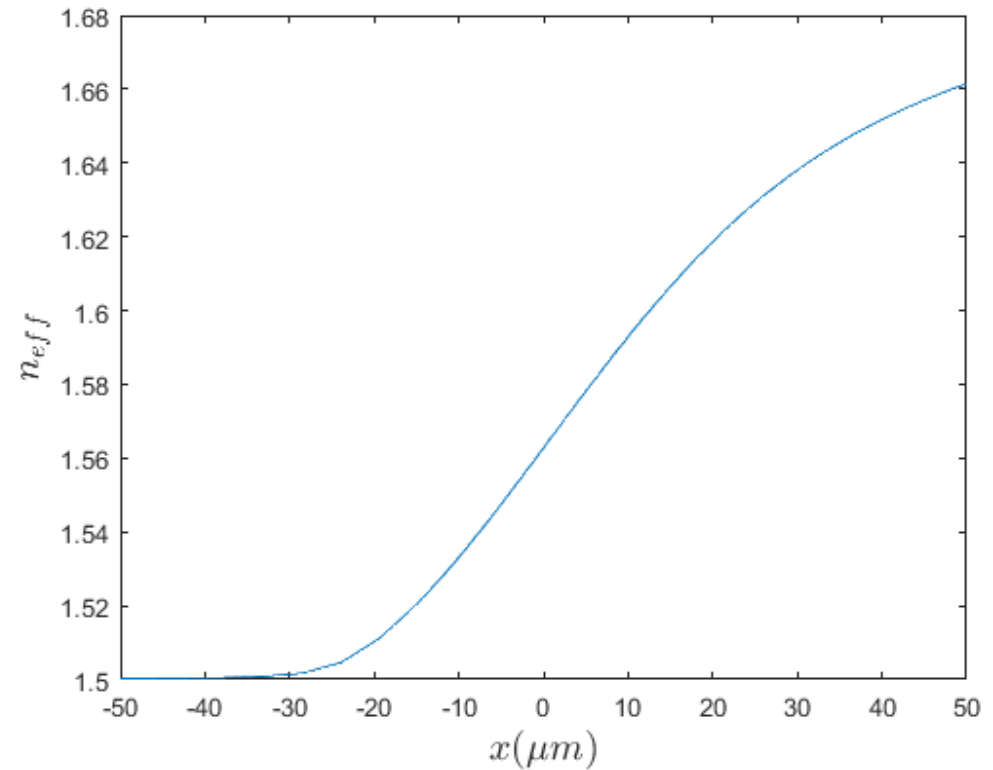
(Gemiddelde) brekingsindex



- Duidelijk niet lineair
- Mogelijke oplossing:
 - Invoeren extra parameters en optimaliseren

Optimalisatie

- Aanleggen meerdere frequenties
- Minimaliseren kostenfunctie:
divergentie/stuurhoek
 - Moeilijk algoritmisch
 - Voorlopig trial and error
- Slechts beperkt gebied lineair

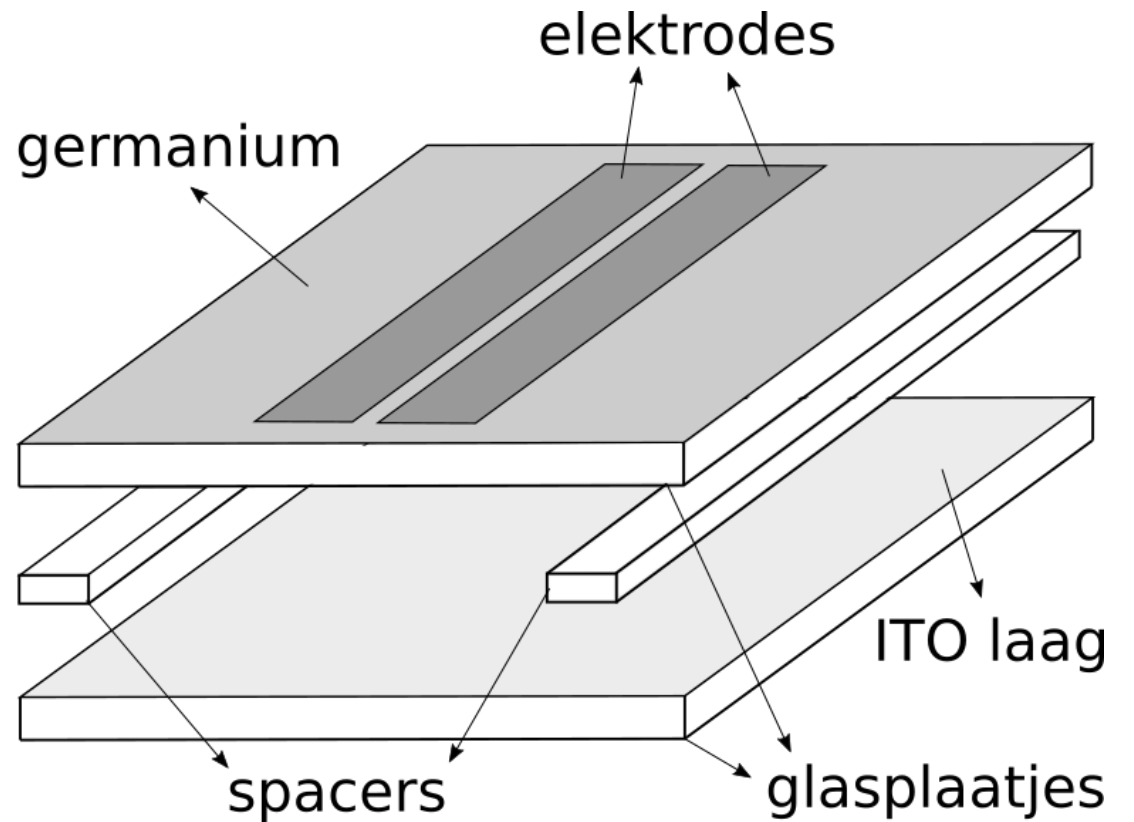


Cleanroom

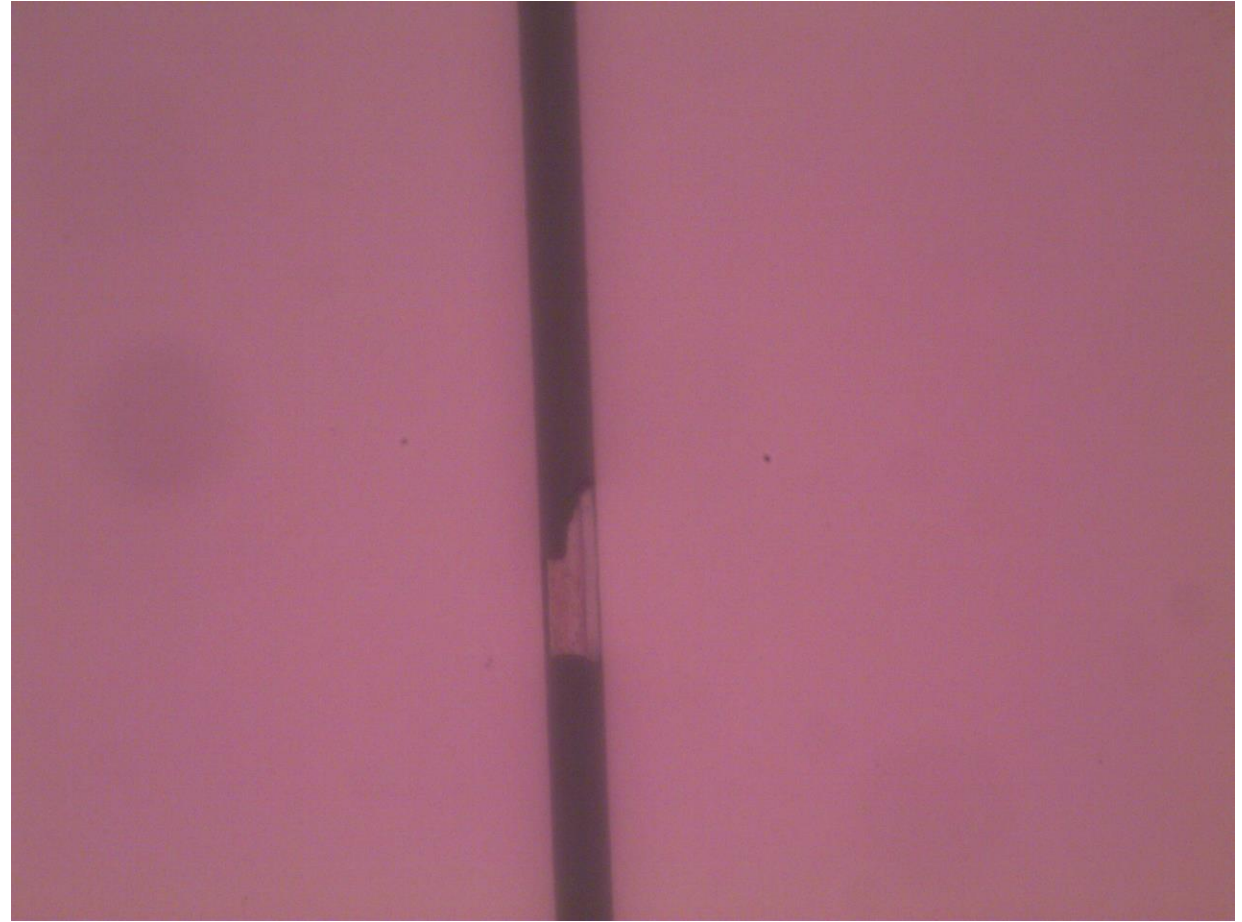
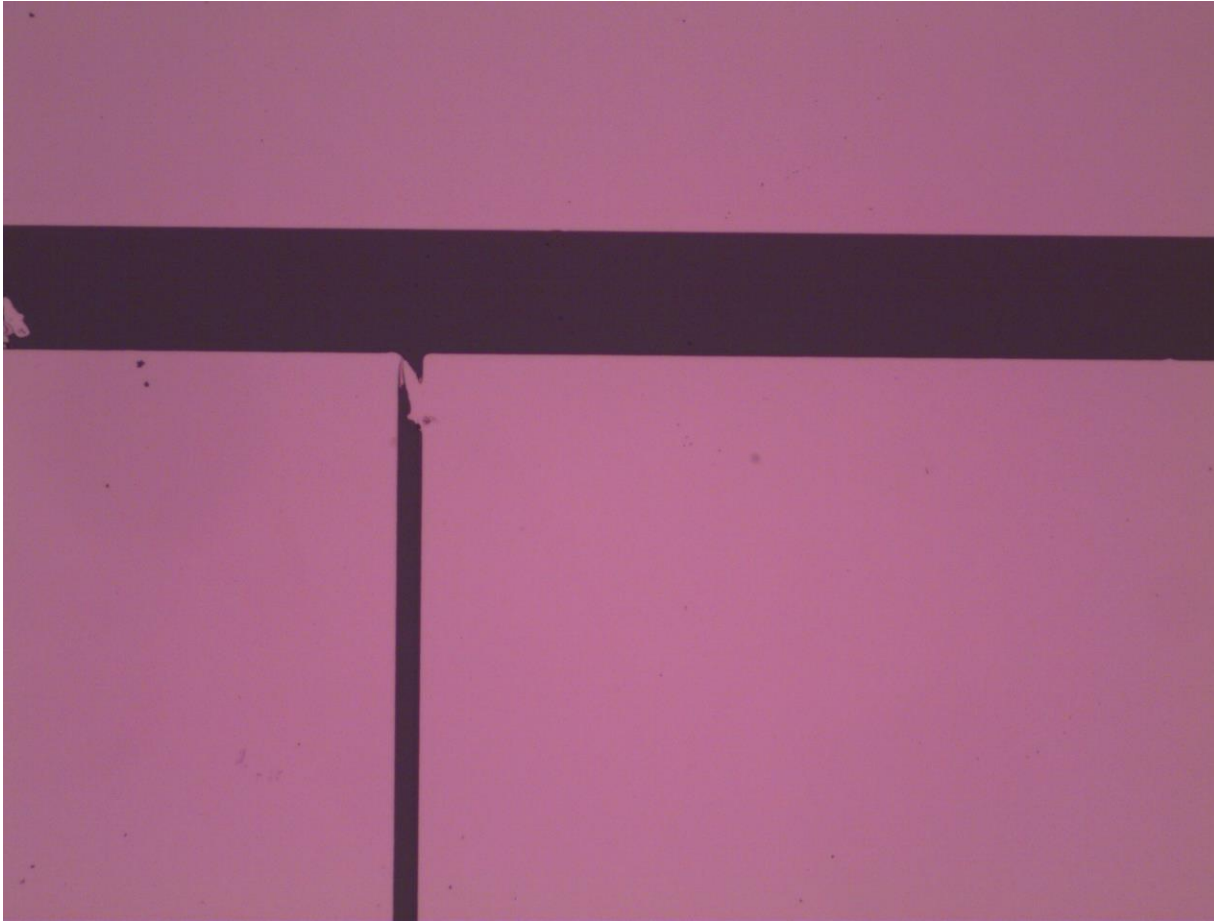


Productie Sample

1. Glassubstraat met geleidende ITO-laag
2. Elektrodes: lithografie
3. Zwak geleidende laag: sputtering germanium
4. Uitlijningslaag: spincoating nylon
5. Vloeibaar kristal: capillaire werking



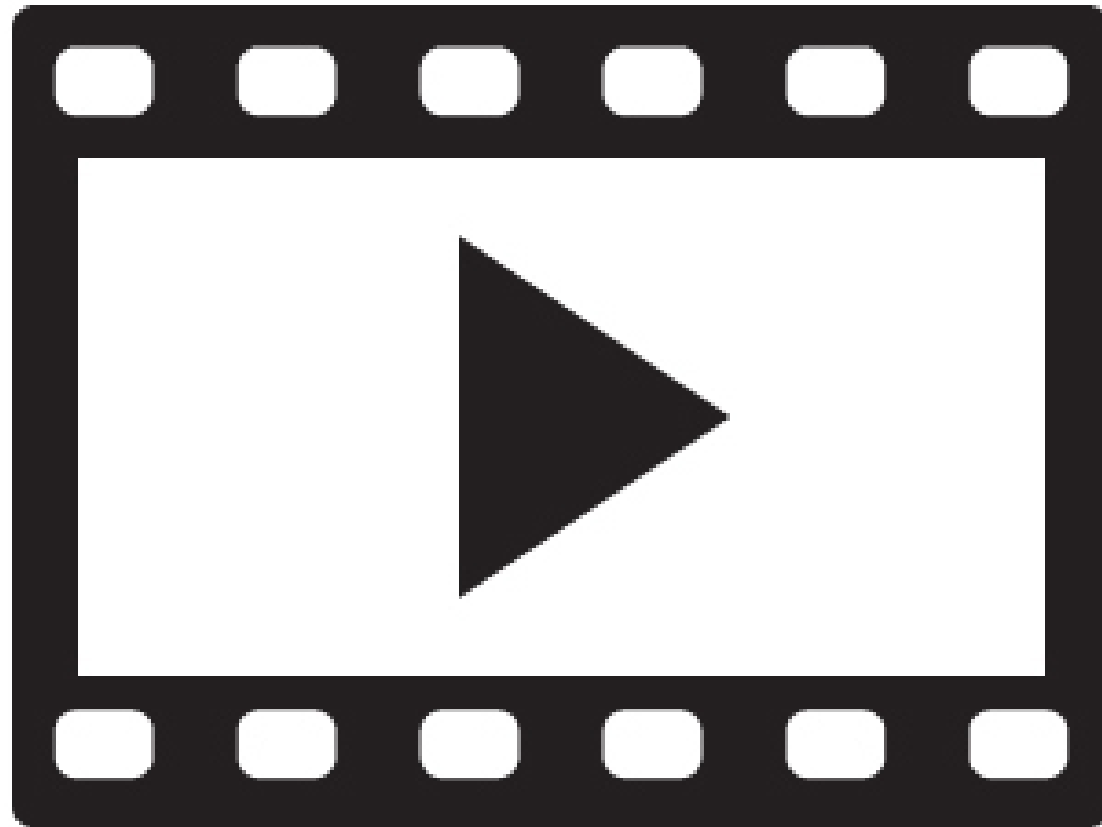
MICROSCOOP



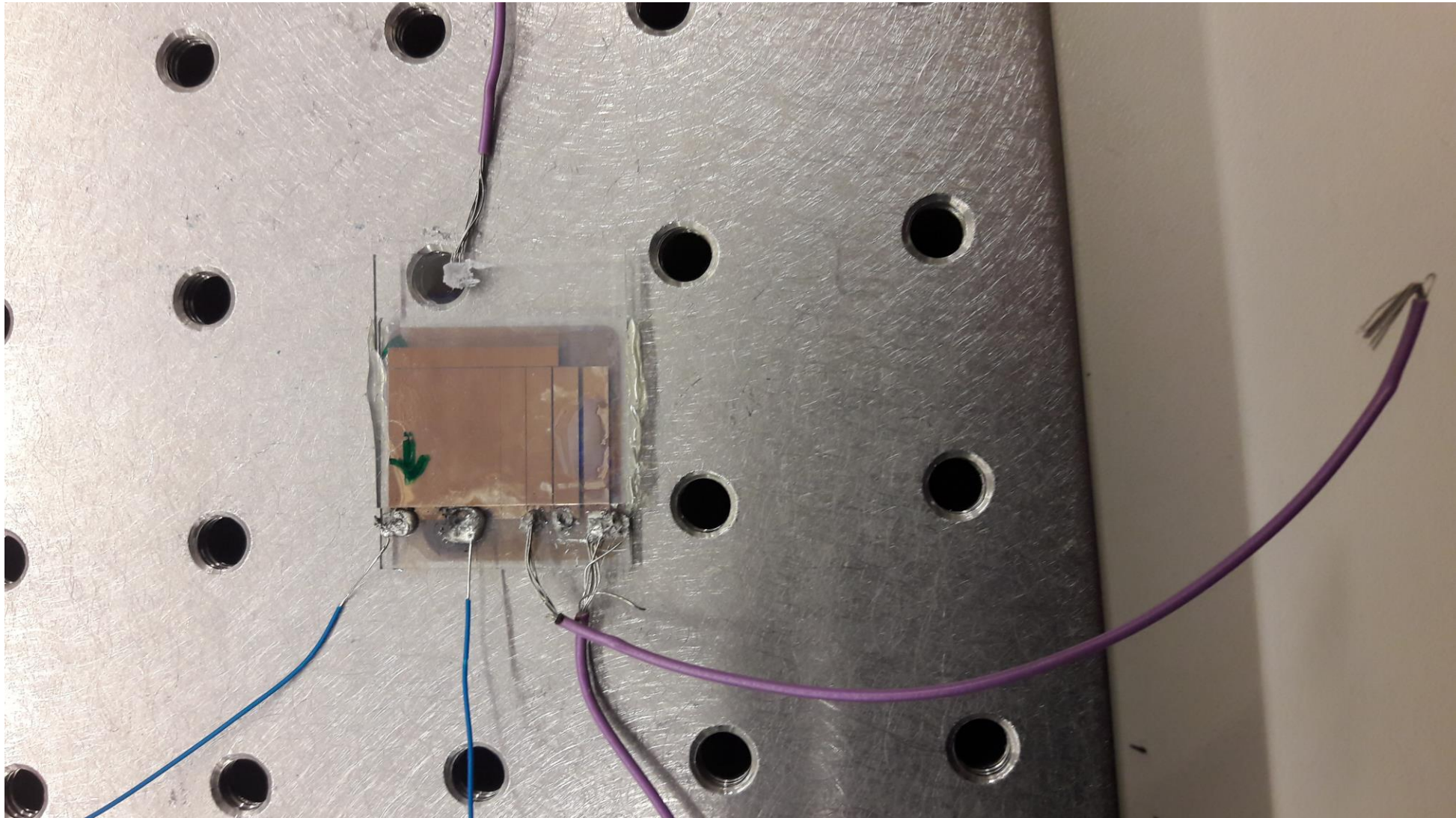
Planning toekomst

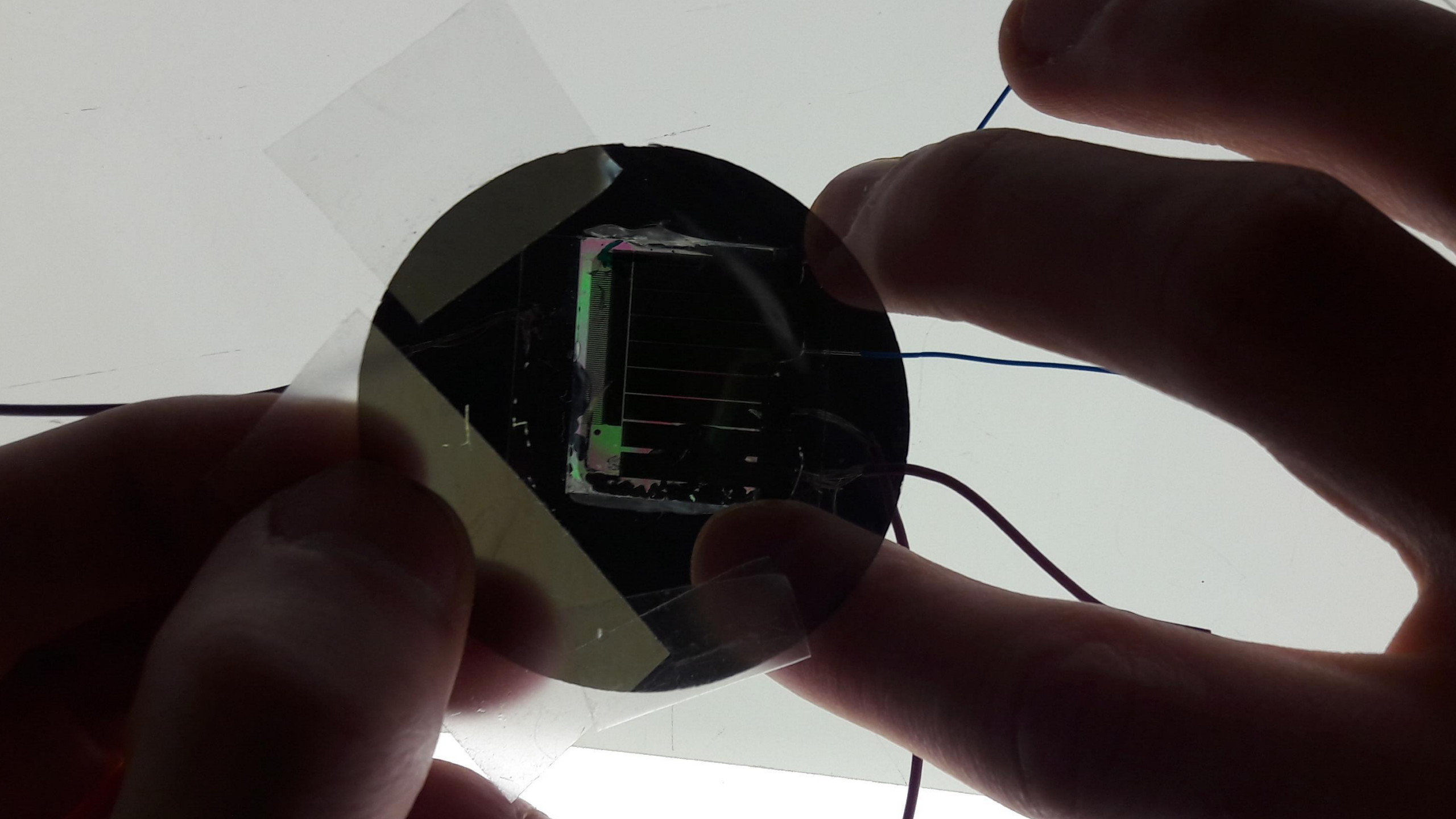
- Moeilijkheden sample oplossen
 - Lijm, UV-lamp kapot?
 - Tussentijd: optimalisatie, 2D
- Experiment vergelijken met theorie
 - Revisie
 - Gegeven sturing realiseren

Filmpje



Extra slides (voor eventuele vragen toe te lichten)





PLEASE DO NOT TOUCH
- Prof. Beckman
VOP Project (AC/ANIS)
732 474 23 23 81 (Even)
732 473 69 63 13

